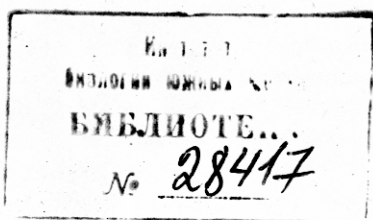


АКАДЕМИЯ НАУК УКРАИНСКОЙ ССР
ОРДENA ТРУДОВОГО КРАСНОГО ЗНАМЕНИ
ИНСТИТУТ БИОЛОГИИ ЮЖНЫХ МОРЕЙ им. А. О. КОВАЛЕВСКОГО

ПРОВ 98

РАСПРЕДЕЛЕНИЕ
И ПОВЕДЕНИЕ
МОРСКОГО ПЛАНКТОНА
В СВЯЗИ
С МИКРОСТРУКТУРОЙ
ВОД



Литература

1. Петипа Т.С., Павлова Е.В., Миронов Г.Н. Структура пищевых сетей, передача и использование вещества и энергии в планктонных сообществах Черного моря. - В кн.: Продукция и пищевые связи в сообществах планктонных организмов. К., 1970, с.3-43.
2. Хайнц Р.А. Поведение животных. М., "Мир", 1975. 855 с.
3. Шионтковский С.А., Петипа Т.С. Количественное описание поведения веслоногого рака *Acartia clausi* при питании водорослями. - Биология моря, Владивосток, 1976, № 1, с.49-56.
4. Петипа Т.С. О влиянии пищевого поведения на механизм потребления пищи морскими копеподами. - Биология моря, К., 1977, вып.40, с.28-36.
5. Петипа Т.С. Об энергетическом балансе у *Gammarus helgolandicus* в Черном море. - В кн.: Физиология морских животных. М., 1966, с.60-81.

УДК 551.46 (26)

П.Н.Ерофеев, А.Н.Рамазин, А.Е.Шершнев,
Д.Е.Левашов

НЕКОТОРЫЕ ОСОБЕННОСТИ СТРАТИФИКАЦИИ ВОД В КГО-ЗАПАДНОЙ ЧАСТИ ЧЕРНОГО МОРЯ

В 76-м рейсе научно-исследовательского судна "Академик А.Ковалевский" /8/ в Черном море исследовалась микроструктура водной толщи до 100 м. Были осуществлены измерения температуры и удельной электропроводности в галистазе западной половины моря. Измерения проводились при помощи зондирующего гидрологического комплекса "Исток-3" /6/ (зав. № 005, статистическая инструментальная погрешность которого по паспортным данным равнялась: для канала температуры $0,021^{\circ}\text{C}$, для канала гидростатического давления 7 дбар). Зонд имел датчик температуры с инерционностью в I с и датчик удельной электропроводности практически безинерционный. Измерения проводились при скорости погружения 0,6 м/с при волнении моря и скорости ветра, не превышающих 2 балла. Минимальные вертикальные размеры температурных неоднородностей, разрешаемые прибором, равнялись 60 см. Вертикальное распределение солености и условной плотности получены расчетом измеренных дискретных значений температуры, удельной электропроводности и гидростатического давления на ЭВМ "Минск-32" по программе, в основу которой положен метод расчета солености и условной плотности, изложенный в работах /3-5/.

Калибровка каналов температуры и электропроводности проводилась методом двух точек /2/. Образцовыми приборами для канала температуры являлись стандартные гидрологические глубоководные опрокидывающиеся термометры. Образцовые значения удельной элек-

тропроводности рассчитывались обратным пересчетом значений солености, определенной титрометрическим способом по "упрощенному методу" В.И.Забурдаева, описанному в работе [2].

Хлорность пересчитывалась в соленость по формуле, полученной Н.В.Кондыревым и В.И.Юрьевым для Черного моря [2, 7].

$$S \% = 0,1856 + 1,7948 Cl \%$$

Измерения были проведены в период с 13 по 20 июня и 30 июля 1975 г. на двух суточных полигонах и трех дрейфовых станциях сотрудниками лаборатории техники экспедиционных исследований и промысловых пособий ВНИРО А.Е.Шершневым и Л.Е.Левашовым, которые, кроме того, обеспечили калибровку и работоспособность аппаратуры в течение всего рейса. Номера и расположение станций указаны на карте [8].

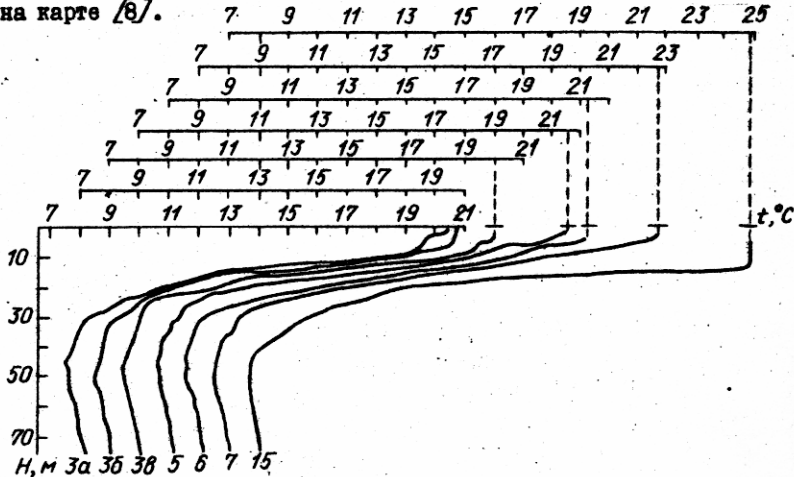


Рис. I. Вертикальные профили температуры, полученные при зондировании на станциях 3 (а, б, в), 5, 6, 7, 15.

Полученные вертикальные профили температуры $T(h)$, солености $S(h)$ и условной плотности $\sigma(h)$ приведены на рис. I, 2, 3. Для профилей температуры и условной плотности сначала характерно отсутствие ярко выраженного верхнего перемешанного слоя, находящегося еще в состоянии формирования. Относительная стратификация этого слоя может быть объяснена незначительным перемешиванием вследствие волнения.

Как видно на рис. I и 3 (станция 15), к концу июня сформировался устойчивый верхний 15-метровый квазиоднородный слой, отде-

ленный от нижележащих вод резко выраженным слоем скачка с максимальным градиентом температуры, равным $4,5^{\circ}/\text{м}$. Ниже верхнего неоднородного слоя (станции 3, 5, 6, 7) располагается мощный холодный промежуточный слой, типичный для начала лета [7]. Небольшая неоднородность в нем обнаружена на глубинах от 30 до 55 м. На станции 5 на глубинах от 60 до 85 м профиль температуры, солености и условной плотности (рис. 1, 2, 3) имеет ступенчатую структуру с размежами ступенек около 2 м. Следы такой структуры отмечаются и на других станциях. Следует отметить, что сведения о наличии тонкой по времени и пространству структуры водных масс Черного моря в литературе практически отсутствуют. Впервые микроструктура в профиле солености и условной плотности была выявлена П.Н.Брофеевым в августе 1973 г. в прибоцфорском районе с помощью зондирующего гидрологического комплекса "Исток-3" [7]. Эта микроструктура представляла собой расположенный непосредственно над термоклином слой повышенной солености, не превышающий нескольких метров. Задокументированная в данном случае ступенчатая микроструктура является ранее не наблюдавшимся новым типом тонкой структуры вод в Черном море.

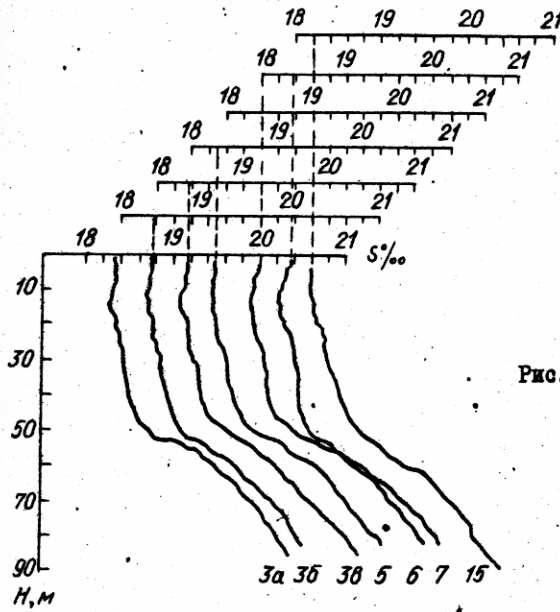


Рис.2. Вертикальные профили солености, полученные при зондировании на станциях 3 (a, b, c), 5, 6, 7, 15.

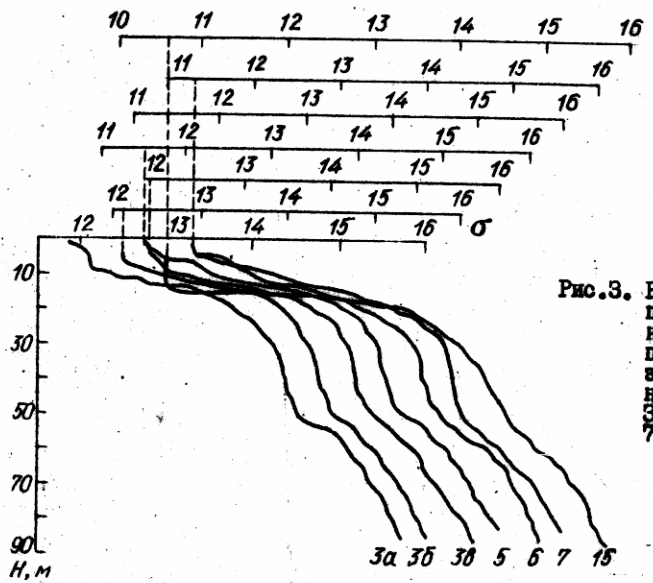


Рис.3. Вертикальные профили условной плотности, полученные при зондировании на станциях 3 (а, б, в), 5, 6, 7, 15.

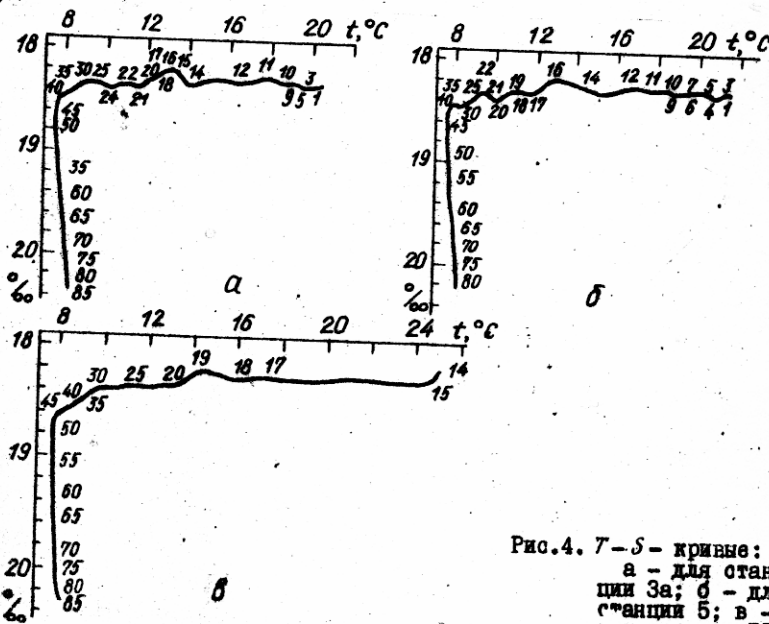


Рис.4. Т-С - кривые:
а - для станции За; б - для станции 5; в - для станции 15.

Изображенные на рис.4,а,б,в Γ - S -кривые свидетельствуют о наличии трех водных масс: верхнего перемешанного слоя, "холодного промежуточного слоя" [7] и расположенного между ними переходного слоя с прилегающим к нему слоем термоклина. Γ - S -диаграмма и профили условной плотности свидетельствуют об изменчивости верхнего 15-метрового слоя. Эта изменчивость обусловливается постепенным прогреванием и перемешиванием поверхностных вод. Очевидно, влиянию взаимодействия атмосферы и моря в несколько меньшей степени подвержена и водная масса, расположенная ниже термоклина.

Можно полагать, что для черноморского бассейна характерна микроструктура, которая считалась ранее свойственной главным образом водным массам Мирового океана. Выполненные измерения вносят новые представления о строении водных масс Черного моря, имеющих мелкомасштабную структуру. Возможно, что это влияние оказывает воздействие на распределение по вертикали основных видов планктона и их миграции.

Литература

1. Брофеев П.Н. Особенности стратификации вод в прибосфорском районе Черного моря. - Океанология, 1976, 16, вып.3, с.422-423.
2. Брофеев П.Н., Пономарев Л.С., Рамазин А.Н. Критерии определения солености морской воды по электропроводности с учетом поправок на температуру и давление. - Промысловая океанология, 1975, вып.4. Сер. Обзорная информация, с.1-61.
3. Забурдаев В.И., Иванов А.Ф., Кушнир В.М., Смирнов Г.В., Документова Т.А. Некоторые вопросы обработки автоматизированных гидрологических измерений. - Морские гидрофиз. исслед., 1974, № 1(47), с.181-194.
4. Забурдаев В.И., Калашников П.А. К вопросу разработки единого метода расчета солености морской воды по удаленной электропроводности, температуре и гидростатическому давлению. - Морские гидрофиз. исслед., 1975, № 3(70), с.141-151.
5. Забурдаев В.И., Калашников П.А. Формулы для расчета солености морской воды по последовательной схеме. - Морские гидрофиз. исслед., 1975, № 3(70), с.152-166.
6. Козубская Г.И. Новые отечественные океанологические приборы, перспективные в промысловой океанографии. - Промысловая океанология, 1971, вып.4. Сер. Обзорная информация, с.59-78.
7. Леонов А.К. Региональная океанография. Ч. I. Л., Гидрометеиздат, 1960. 724 с.
8. Петрова Т.С. О задачах изучения распределения, поведения и функционирования планктона в целищеских сообществах. - См. наст. сборник, с. 3-11.